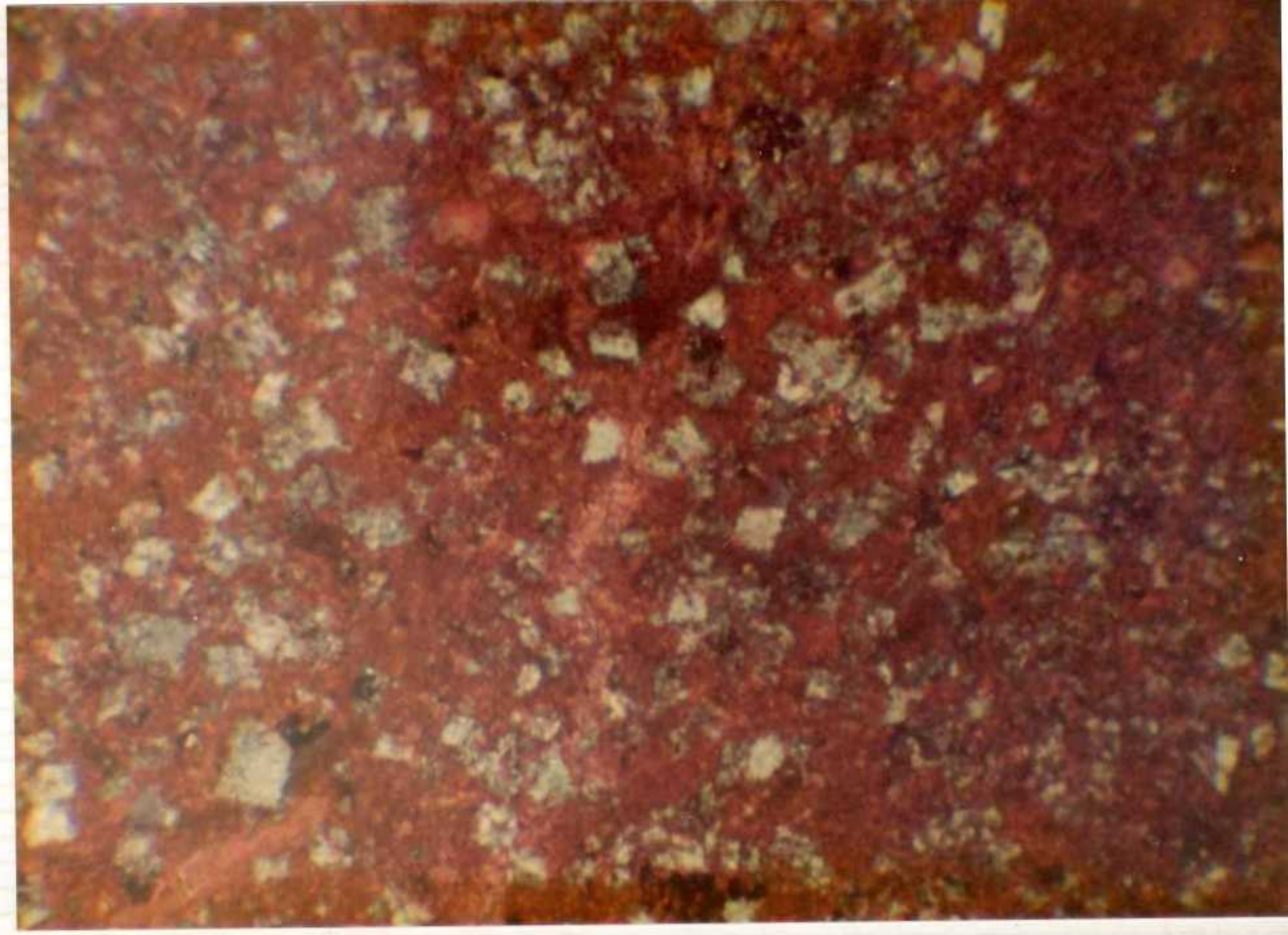
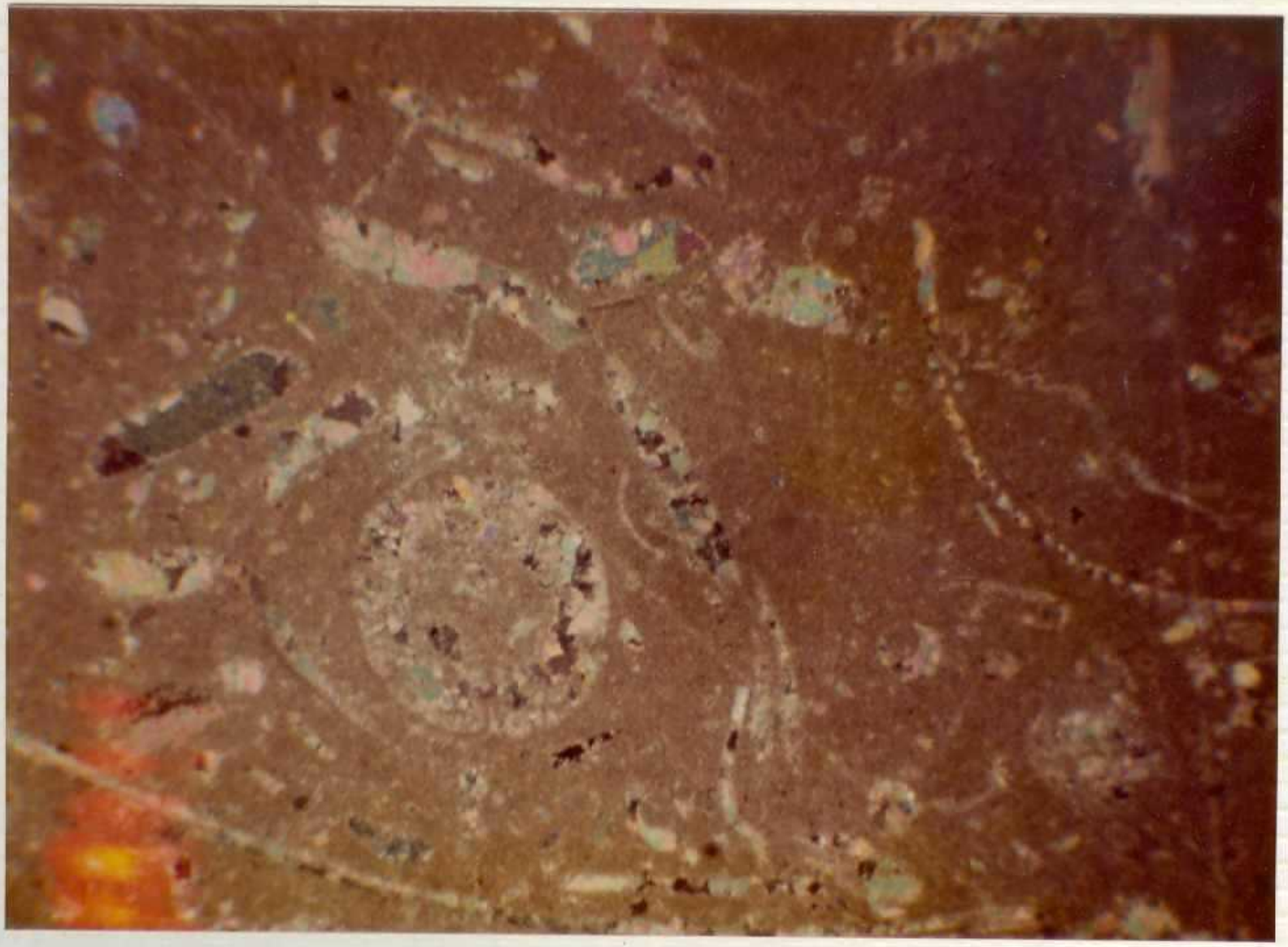
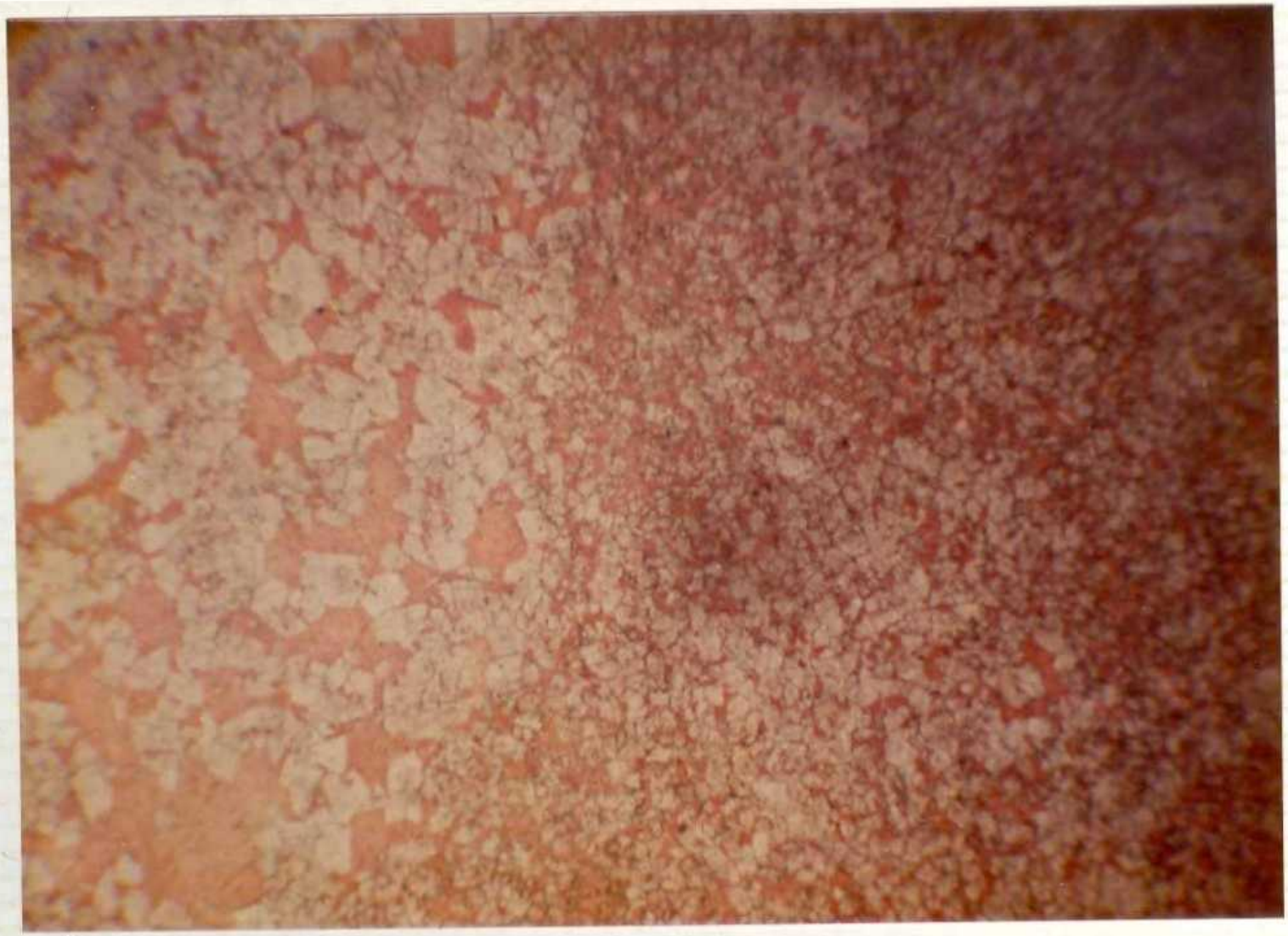


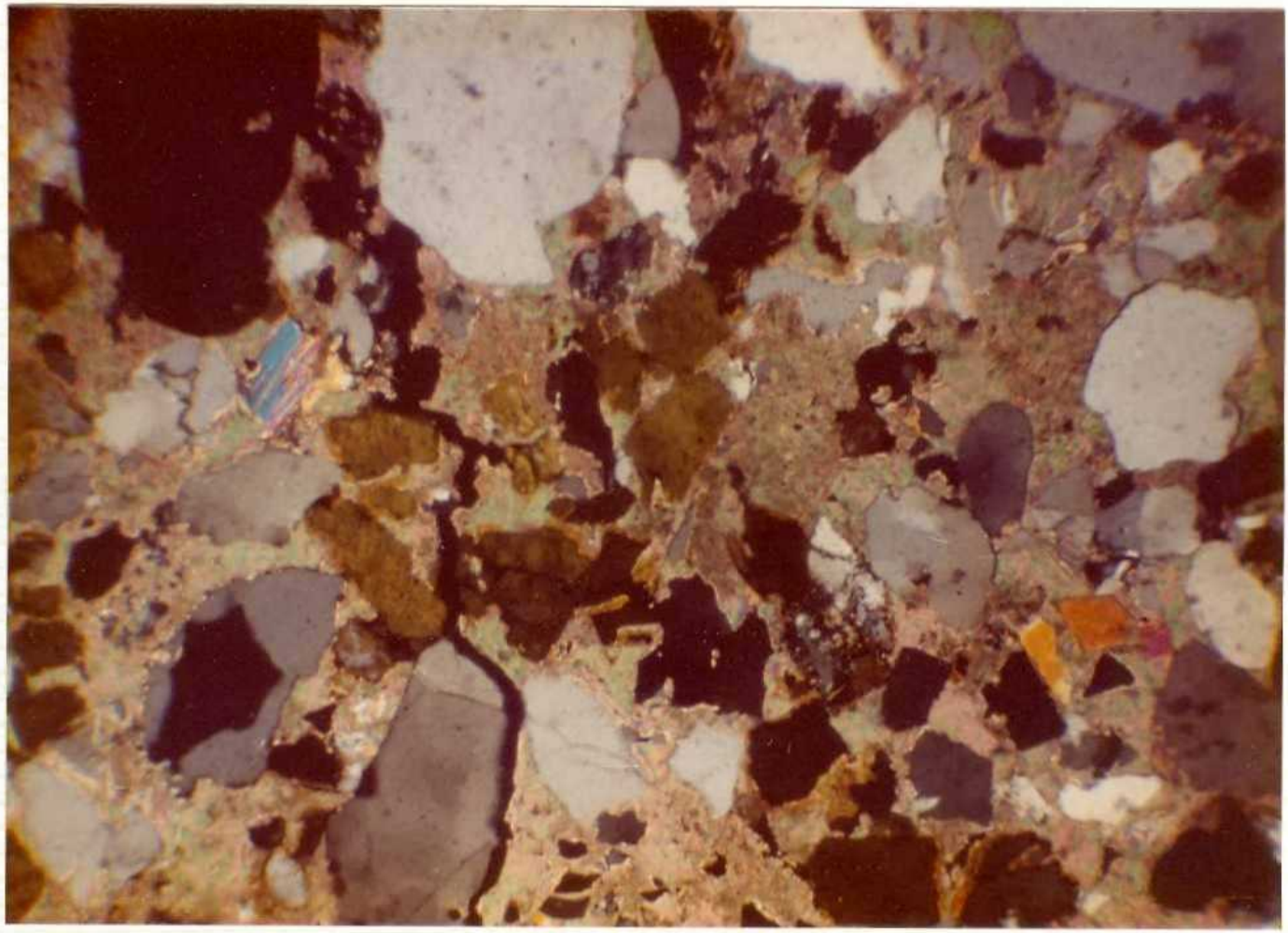
2012-IB-GS-101.- Caliza dolomitizándose. Rombos de dolomita bien formados. Turonense - Senonense, 10 ob. x 10 oc.



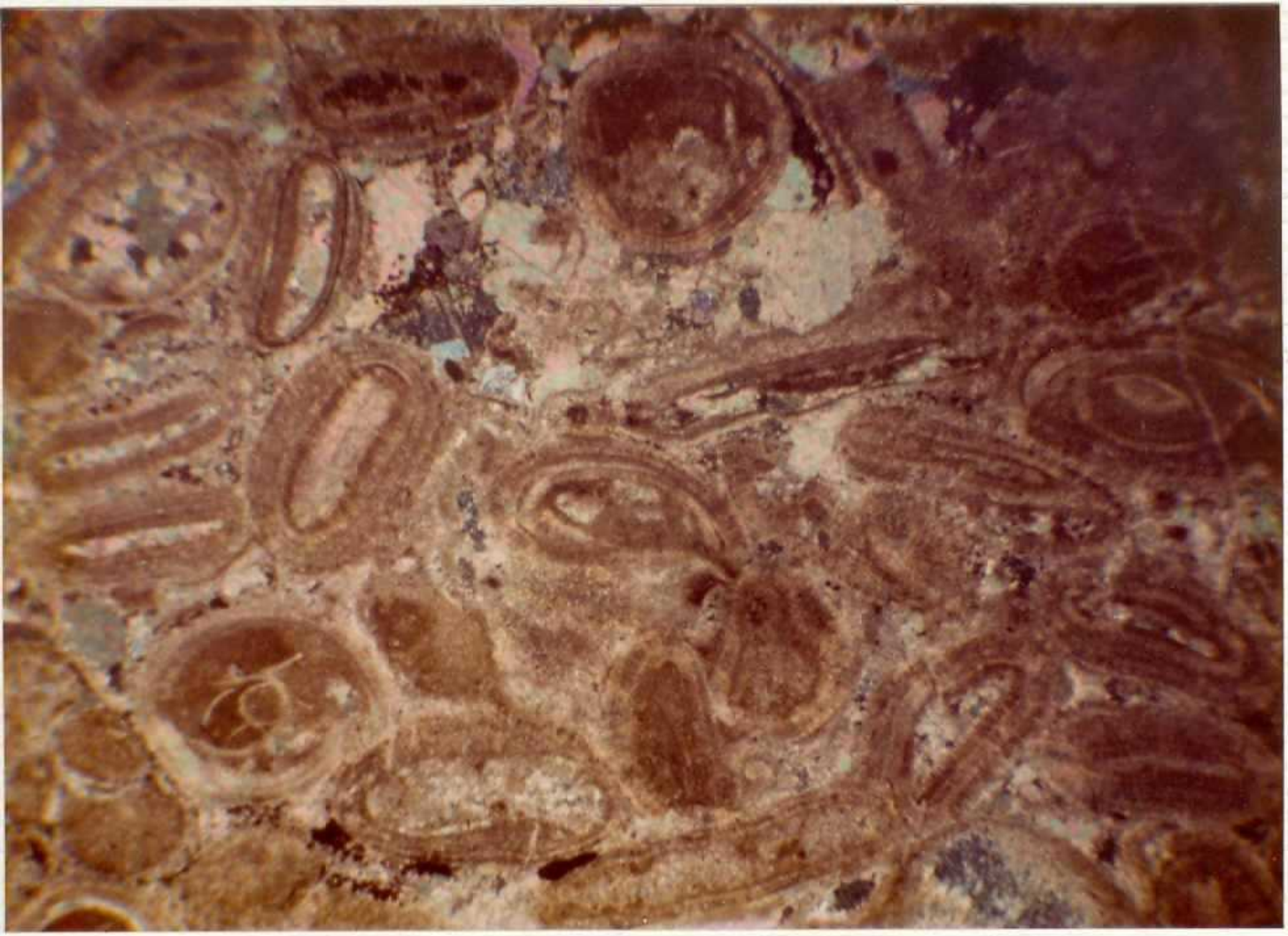
2012-IB-GS-21.- Biomicrita parcialmente recristalizada.
Turonense. 10 ob. x 5 oc.



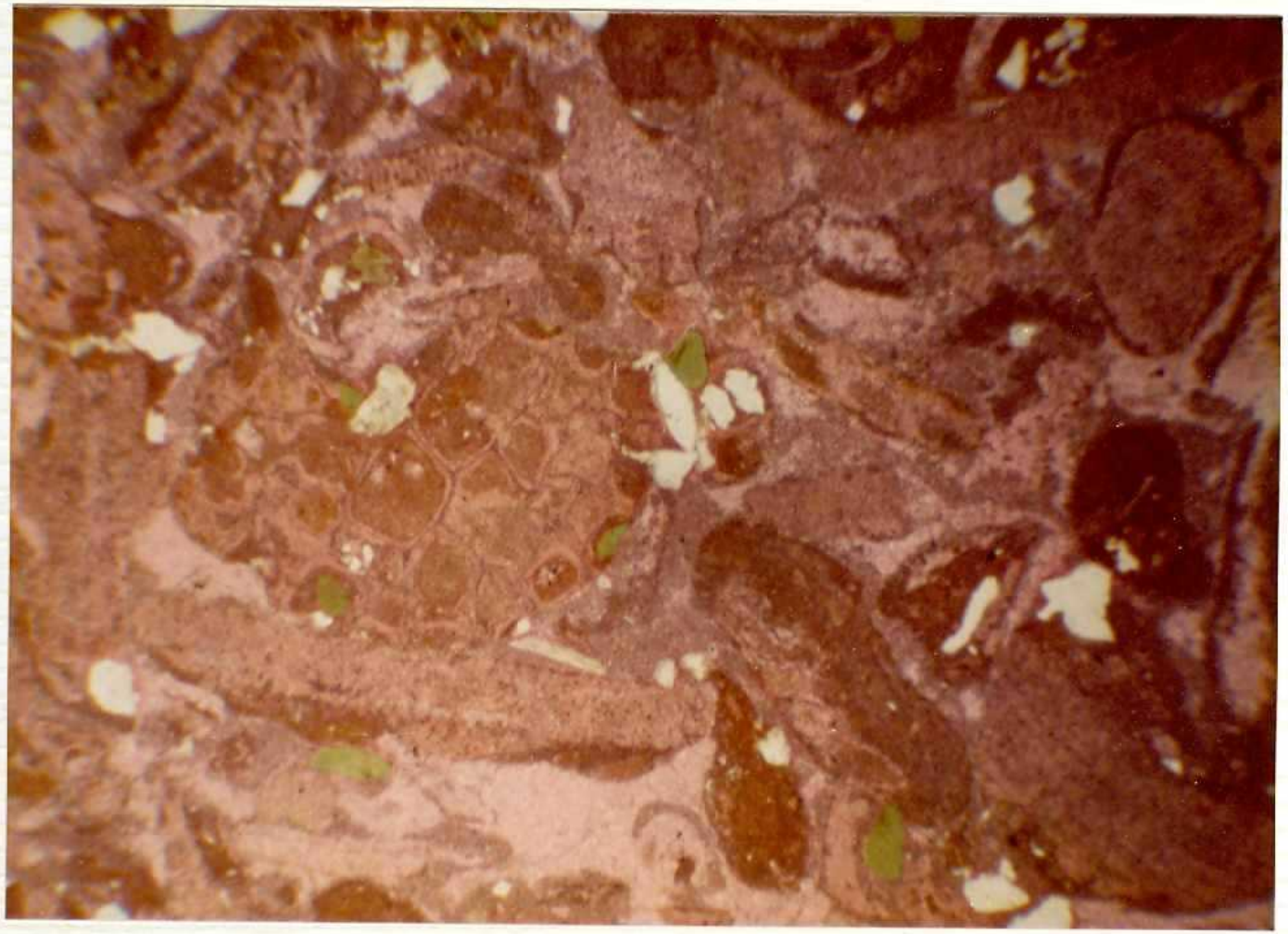
2012-IB-GS-235.- Dolomitización. Textura media-fina. Turonense - Senonense. 10 ob. x 5 oc.



2012-IB-GS-237.- Arenisca con cemento carbonatado (probablemente dolomítico). Albense. 10 ob. x 5 oc.



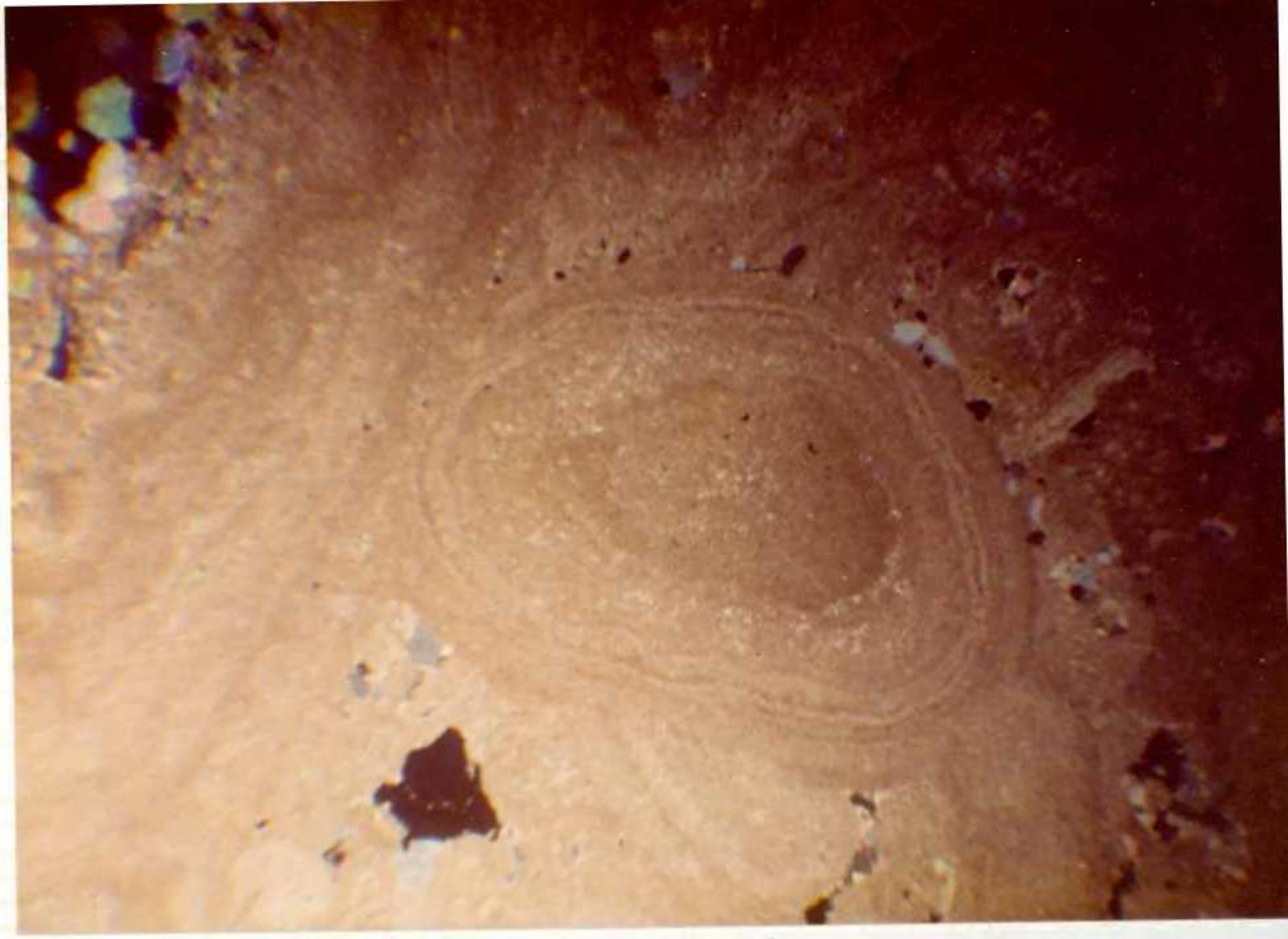
2012-IB-GS-238.- Ooesparita. Cenomanense. 10 ob. x 5 oc.



2012-IB-GS-24.- Biomicrita con glauconita detrítica. Cenomanense - Turonense. 10 ob. x 5 oc.



2012-IB-GS-260.- Cuarzoarenita con turmalina detrítica. - Valanginiense - Hauteriviense. 10 ob. x 5 oc.



2012-IB-GS-308.- Grandes pirolitos de algas. Valanginiense. 10 ob. x 2 oc.



2012-IB-GS-44.- Caliza cristalina media. Sinemuriense.
10 ob. x 5 oc.



20-12-IB-JZ-555

Calizas grises en bancos potentes de hasta 1 m, que destacan en el relieve en forma de barra, pertene-- cientes al Dogger Inferior J_{21-22}^{c}, al N de Castro-vido.



20-12-IB-JZ-556

En primer plano las margas grises con intercalaciones de calizas pardas del "Lías Margoso" J_{13-14}^{m}, y al fondo la barra del Dogger Inferior $J_{21-22}^{c.}$ Al - N de Castrovido.



20-12-IB-JZ-557

Alternancia de calizas arenosas y margas del Dogger Superior J_{21-22} en la carretera al Monasterio de la Sierra.



20-12-IB-JZ-558

Conglomerados, calizas, areniscas y margas del Cretácico Inferior en facies Weald, de la parte basal del Grupo Tera. A la entrada del pueblo de Terrazas $C_{11}^{m}{}_{1}^{s}$.



20-21-IB-JZ-559

Conglomerado heterométrico, de cantos calizos fundamentalmente, y algunos de cuarzo y cuarcita, perteneciente al Mioceno, T_{C1}^{Ba}cg cerca del contacto con el Oligoceno. Al Sur de Covarrubias.



20-12-IB-JZ-560

Aspecto masivo del conglomerado brechoide Oligoceno $T_3^A cg$ de color rojizo (gris por lavado), en la carretera de Covarrubias.



20-12-IB-JZ-561

Estratificación cruzada a gran escala en los conglomerados brechoides del Oligoceno $T_3^A cg$. En la orilla izquierda del río Arlanza.



20-12-IB-JZ-562

En primer término conglomerado brechoide del Oligoceno $T_3^A cg$ en la trinchera de la carretera. A la izquierda, en segundo plano alternancias de calizas y margas del Cenomanense-Turonense $C_{21-22}^{1-2} cm$, culminando con la barra de caliza masiva del Turonense-Senonense $C_{22-25}^{2} c$



20-12-IB-JZ-563

Alternancia de calizas y margas del Cenomanense-Turonense C^{1-2}_{21-22}cm encima la barra de caliza masiva del Turonense-Senonense C^{2}_{22-25}c. En la carretera de Covarrubias a Hortiguela.



20-12-IB-JZ-564

Calizas pisolíticas, de la ingresión marina del Barriasiense-Valanginiense, C_{11-12}^{c}, dentro del Cretácico Inferior en facies Weald. Los nódulos pisolíticos alcanzan hasta 5 cm de diámetro.



20-12-IB-JZ-565

Conglomerados y areniscas conglomeráticas de la base del "Grupo Urbión", C_{12}^{cg} del Cretácico Inferior en facies Weald. En la carretera de Mambrillas de - Lara a Campolara.



20-12-IB-JZ-566

Banco de arenisca conglomerática de color ocre, dentro de las arenas en facies Utrillas $C_{16}^{\overline{d}}cg$, de edad Albense. A la entrada de la carretera a Quintanilla de las Viñas.



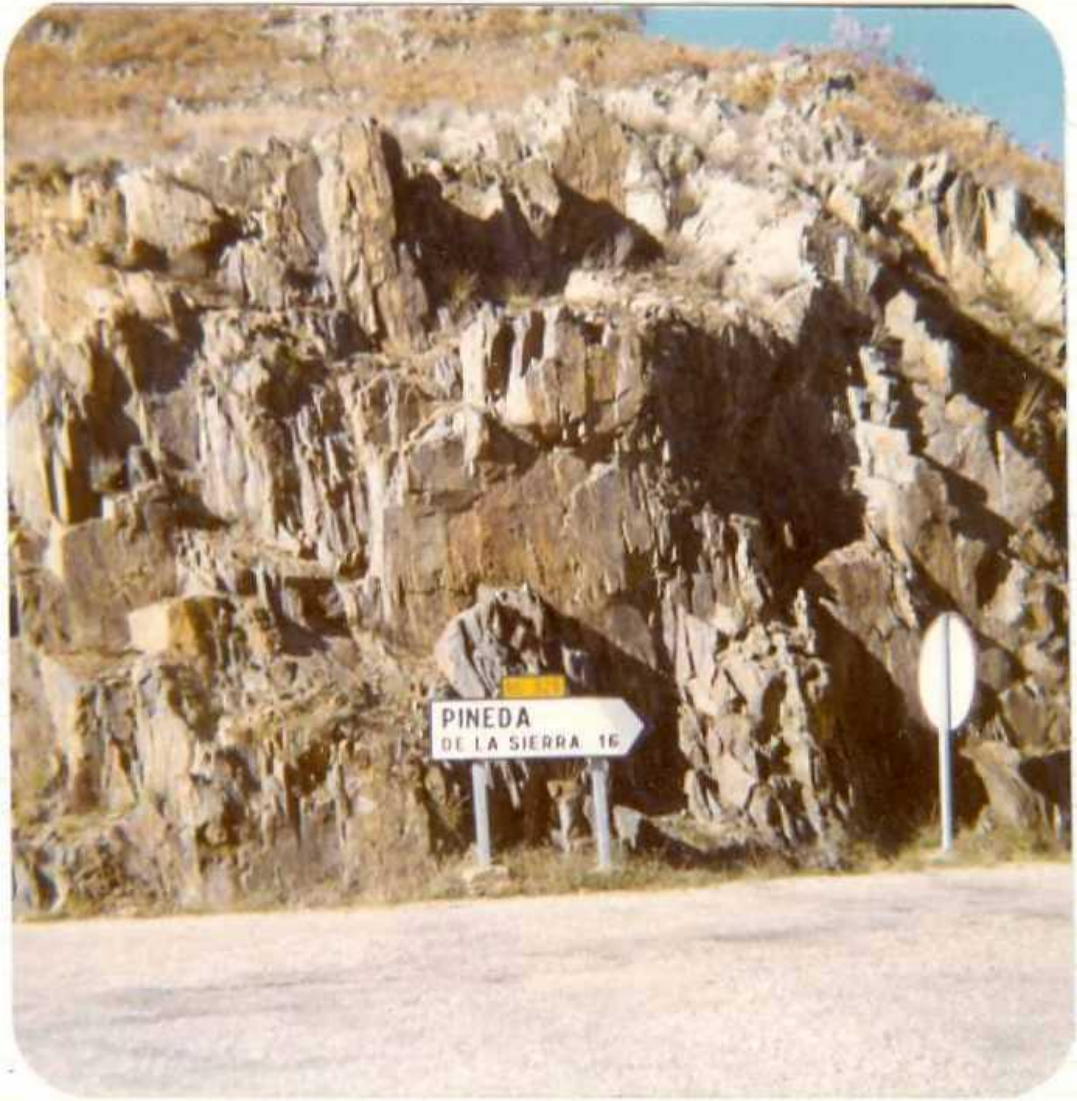
20-12-IB-JZ-567

Calizas sublitográficas de color gris y pardo claro del Sinemuriense J_{12}, en bancos decimétricos. Al N de Castrovido.



20-12-IB-JZ-568

Afloramiento de Carniolas del Rethiense-Hettangiense TA_{33}-J_{11}, de color gris rosado y pardo claro, al N de Castrovido.



20-12-IB-JZ-569

Pizarras azul oscuro de la formación "Pizarras de - Riocabado" CA_{12}, pertenecientes al Cámbrico Inferior en el desvio de Pineda, de la carretera a Nájera de de Salas de los Infantes.



20-12-IB-JZ-570

Cuarcitas de color azul rojizo, del techo de la formación "pizarras de Riocabado" CA_{12}, en las proximidades de la Fuente de la Salud.



20-12-IB-JZ-571

Dolomía azul (parda por alteración), en el flanco -- norte de un pequeño sinclinal, en las proximidades de la Fuente de la Salud. Pertenece a la formación "Dolomía de Mansilla" CA_{13}, del "Cámbrico Inferior"



20-12-IB-JZ-572

Desfiladero del río Pedroso encajado en "metarenis-
cas conglomeráticas de Barbadillo del Pez" CA$_{11-12}$,
pertenecientes a la base del Cámbrico Inferior. Al
NE del pueblo de Barbadillo del Pez.



20-12-IB-JZ-573

"Metareniscas conglomeráticas de Barbadillo del Pez CA_{11-12}, de color rojo y verde en bancos decimétricos, de aspecto masivo y con pequeñas intercalaciones centimétricas de pizarras pardas. A la salida del pueblo de Barbadillo del Pez.



20-12-IB-JZ-574

Contacto por falla entre las pizarras y metarenis-- cas de la formación "pizarras de Riocabado" CA_{12} - del Cámbrico Inferior, y las areniscas del Buntsans tein TG_1, del Triásico. Al NO de Riocabado.



20-12-IB-JZ-575

Margas de color rojo del Keuper TG_3, en la trinchera de la carretera de Riocabado a Pineda. En las proximidades de Riocabado.